

# 真空冶金

第一輯

冶金译丛編译委員會編

上海市科学技术編译館

冶金译丛  
真空冶金  
第一辑

冶金译丛编译委员会编

\*

上海市科学技术编译馆出版  
(上海南昌路59号)

商务印书馆上海厂印刷 新华书店上海发行所发行

\*

开本 787×1092 毫米 1/16 印张 6 1/2 字数 200,000  
1965年10月第1版 1965年10月第1次印刷  
印数 1—2,000

编号 15·331 定价(科七) 0.95 元

## 編 者 的 話

随着科学技术的日益发展，各經濟領域对鋼的要求愈来愈高，为了适应这一需要，采用真空冶金这一新的冶炼方法甚为必要。

真空冶金是生产高純度金属和高质量合金的一項新技术，是用来冶炼各种特殊鋼、难熔金属和高温合金等，它是当代冶金工业中的一項重大成就。

本譯丛內容包括真空电弧炉熔炼、真空感应炉熔炼及鋼液的真空处理等，还編入了用于鋼液脱气的蒸汽噴射真空泵的文章。其中以工艺为主，并兼顾一些基本理論。可供从事鋼生产的工程技术人员、有关科研人員以及鋼鐵学院和技校的师生参考。

本专辑由上海市第一鋼鐵厂、上海市鋼鐵研究所和上海交通大学冶金系負責主編。由于我們水平有限，对选題、譯校和編排等方面定有不妥之处，望讀者批評指正。

編 著

1965年9月

## 目 录

真空自耗电弧熔炼的条件对熔池、鑄錠及电弧的影响 .....	1
鋼在真空电弧炉中的重熔过程 .....	17
鋼的真空自耗电弧重熔 .....	24
真空中耗电弧熔炼 .....	34
高质量鋼的真空电弧及真空感应炉熔炼 .....	48
真空感应炉熔炼不銹鋼时坩堝材料对其成份的影响 .....	54
真空感应炉熔炼金属及合金时的析气 .....	60
金属在真空感应熔炼时用甲烷脱氧 .....	65
各种鐵液在真空感应炉內的脱硫研究 .....	69
鋼液除气的新发展 .....	76
真空处理对合金鑄造性能的影响 .....	84
用于鋼液脱气的蒸汽噴射真空泵 .....	98

51C4P7/09

# 真空自耗电弧熔炼的条件对熔池、鑄錠及电弧的影响

八木芳郎等

## 提 要

为了研究真空自耗电弧熔炼的条件(如:电弧电流、电弧电压、炉内真空气度和磁场)对熔池、鑄錠和电弧的影响,曾使用非自耗电极小型电弧炉和試驗用的真空自耗电弧炉进行了各种熔炼試驗,所得結果如下:

- (1) 在非自耗电极小型电弧炉中觀察了磁场对熔池的影响,証实了熔池是旋转的;
- (2) 在各种条件下,使用真空自耗电弧熔炼碳素鋼 SS 41,在同一电弧电流时,熔池深度随着炉内真空气度的提高而减小;当输入功率不变、炉内真空气度改变时,熔池深度无多大变化;在 780 毫米汞柱氩气中熔炼时,熔池深度較真空气度熔炼时为深;在 60 高斯磁场下熔炼时,熔池深度略有增加;
- (3) 在同一电弧电流时,熔融金属的量随着炉内真空气度的提高而减少,真空熔炼鑄錠的表面状况比氩气中熔炼的差,在反极性真空熔炼时,鑄錠的表面状况显著恶化。同一输入功率下,真空气度和磁场改变时表面状况沒有大的变化;
- (4) 采用拉錠式自耗电弧熔炼,即使在真空气度熔炼时也能改善表面状况;
- (5) 由于施加磁场使熔池旋转,真空自耗电弧熔炼鑄錠的晶粒就被细化;
- (6) 由于施加磁场,能使电弧集中,并能改变电弧方向;
- (7) 使用非自耗电极电弧炉在氩气中熔炼时,由于施加磁场,电弧电压就能增加。施加磁场与增加炉内压力有同样的效果;
- (8) 用示波器记录真空自耗电弧熔炼中的电流和电压,发现非常稳定。

## 一、緒 言

如把鋼鐵材料和耐热合金等进行真空自耗电弧熔炼,就能利用此熔炼法所特有的精炼作用和凝固条件,获得杂质含量少的致密的鑄錠,材料性能或加工性能也得到显著的改善<sup>[1~13]</sup>。

神戸制鋼公司研究所在开始研究真空自耗电弧熔炼时,只以碳素鋼 SS 41 研究了熔炼条件对鑄錠的性质以及对内部结构的影响<sup>[14]</sup>。

其后,真空自耗电弧熔炼法在欧美得到了发展,近年来,据说已建有 25 吨或 50 吨的熔炼炉<sup>[15]</sup>。在日本的各个特殊鋼厂里也逐渐开始应用<sup>[16]</sup>。

鉴于这种状况,神戸制鋼公司也根据历来的經驗,正在对設計上或有关控制方式等問題重新进行种种研究和試驗<sup>[17]</sup>。同时,为了促进工业規模的熔炼法或关于熔炼材料的各种性能的研究,在岩屋工厂里設置了鋼鐵材料专用的熔炼炉,在现场的規模下熔炼 1~2 吨的鑄錠。关于使用这种工业型真空自耗电弧炉进行熔炼时的各种問題,或有关熔池溫度和电弧的試驗等結果,还拟逐次加以报道。本文将主要根据試驗用真空自耗电弧炉所进行的熔炼<sup>106</sup>

研究,即关于熔炼时的电流、电压、真空气度和磁场等熔炼条件对熔池、鑄錠和电弧的影响等研究結果加以报道。

## 二、熔炼条件对熔池的影响

在真空自耗电弧熔炼中,自耗电极被电弧热熔化,成为液滴落在水冷銅結晶器內。熔池面被电弧热所加热,但由于周围是水冷結晶器,因此被冷却。結果,在表面热和周圍的冷却相平衡之处保持着一定的熔融体积。在熔炼中熔池的状态如何,对真空自耗电弧熔炼來說是极其重要的。还有,如果施加与电弧軸平行的磁场,电弧和熔池就受其影响。在本节中,叙述有关真空气度和磁场对熔池影响的研究結果。

### 1. 磁場对熔池的影响

(用非自耗电极小型电弧炉进行試驗)

在真空自耗电弧炉中,如果施加与电弧軸平行的磁场,就能观察到熔池产生旋转。在同一电弧电流下,磁场强度越强旋转越快;且在同一磁场下,电弧电流越大旋转越快。为了証实这种現象,使用非

自耗电极的小型电弧炉进行了试验。

### 1) 試驗設備和方法

使用图1所示的小型电弧炉。炉内是气密的，电极是在水冷铜管的尖端部安上鎢而成。結晶器用銅制成，如图所示进行水冷却。为了使相当于炉子下部的电弧区域和熔池的部分形成磁场，安置了线圈。线圈的形状如图2所示，以直径为2.9毫米的紗包銅絲卷繞10层，联接直流电源。用磁通計測定流经线圈的电流和线圈中心的磁通密度的关系，其結果示于图2。电弧炉的接線圖如图3所示，电源使用400千伏安的直流发电机，电极接负极，炉体接正极。为了使电弧稳定，在回路中直接接入0.01欧姆的稳定电阻器。磁化线圈的电源则使用10千伏安的焊接用小型直流发电机。

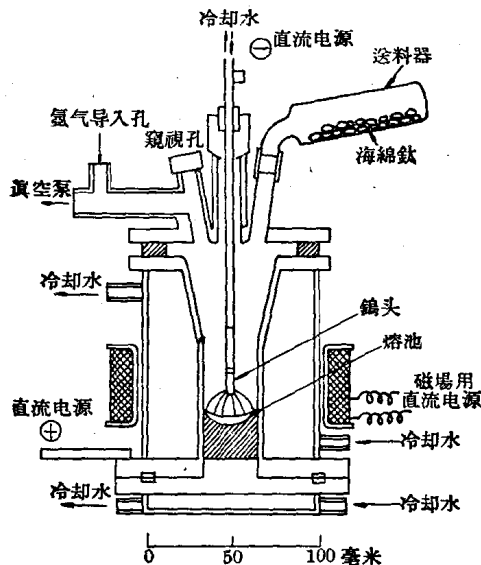


图1 用非自耗电极小型电弧炉测定磁场影响的设备

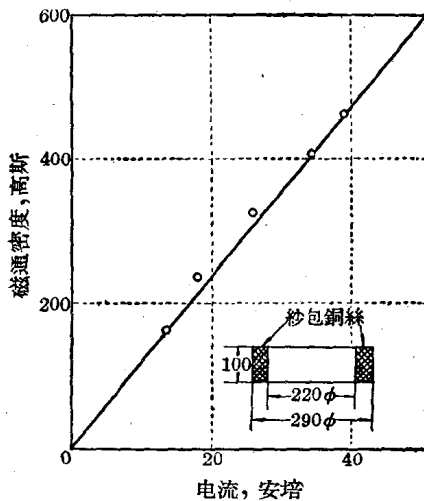


图2 产生磁场用线圈的形状与电流和磁通密度的关系

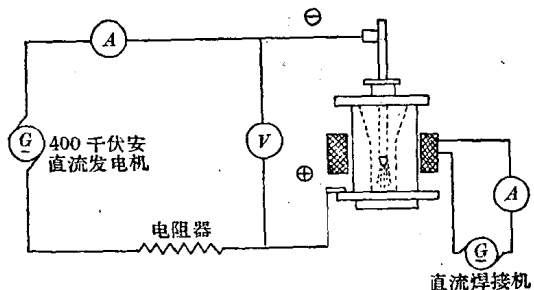


图3 非自耗电极小型电弧炉和产生  
磁场用线圈的接線圖

在熔炼之前，預先将炉内抽气至 $10^{-2}$ 毫米汞柱，然后通入压力达780毫米汞柱的高純度氩气。在炉底放入少量的海綿鎳，使其与电极尖端接触以产生电弧。在海綿鎳熔化完了之后，緩慢地添加送料器內的海綿鎳約300克。在熔池和电弧达到稳定状态以后，使电极尖端和熔池面的間隔保持恒定約为40毫米，然后，施加各种强度的磁场，从窺視孔觀察熔池的状态。

### 2) 試驗結果和分析

在无磁场时，熔池面比較平靜，但一施加磁场，就能觀察到熔池开始旋轉。在同一电流下磁场愈强旋轉愈快；在同一磁场下，电流愈大旋轉愈快。在磁场强的时候，由于旋轉的結果，使周圍隆起，而且电弧集中在結晶器的中心，因此周围成为半凝固状态。照片1是本試驗中不施加磁场熔炼时和施加磁场熔炼时的鑄錠的上部情况。后者是在施加磁场的状态下切断电源，都是鑄錠完全凝固以后的状态。在有磁场的試驗中，能觀察到在周圍由于旋轉而产生波形，且周圍隆起。



照片1 无磁场时和有磁场时钛鎔锭的上部情况  
(用非自耗电极小型电弧炉进行試驗)

为了分析以上的結果，把电极接负极、結晶器接正极进行熔炼时，电流就按图4所示的箭头方向流动。在熔池中，熔池成为导体，电流从其表面周围

和内部向熔池面中心的阳极点按箭头方向流动。这时,如果存在着电弧轴方向的磁场,则具有与磁场成直角的电流成分的导体,就按照佛来明(Fleming)左手定则而受到与磁场及电流方向成直角方向的力。熔池即如图4中的下图所示,受到箭头方向的力,并按此方向旋转。由于旋转力的大小是和磁场强度及与其成直角方向的电流成分之积成比例,因而可以设想,当磁场愈强,且电流愈大时,旋转力就愈大,因此旋转速度也愈快。在熔池表面上,电流都与磁场成直角方向流动,流经熔池表面的电流最多,所以被认为熔池表面受力最大,与因熔池表面温度高而导致粘性低相结合起来,就使表面很快地旋转着。

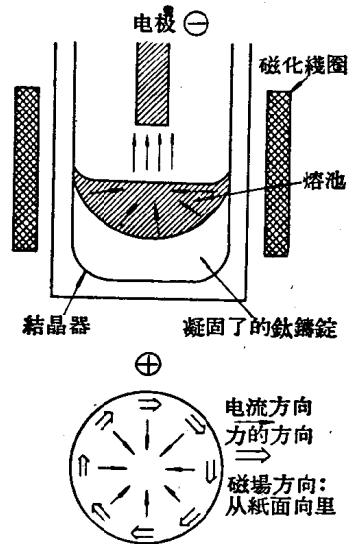


图4 电弧炉中的电流分布和作用于熔池的旋转力的方向

以上的试验结果是用非自耗电极电弧炉在780毫米汞柱氩气中熔炼的情况,但无论在自耗电极的情况下,或者在真空中熔炼的情况下,电流方向都一样,可以认为产生与此完全相同的现象。

## 2. 真空度和磁场对熔池的影响(以试验用真空中耗电弧炉熔炼碳素钢SS41的试验)

### 1) 试验设备和方法

从上节的试验可知,由于磁场的作用使熔池产生旋转,所以,为了用真空中耗电弧炉来观察磁场强度作种种改变时对熔池的影响,同时为了研究炉内真空度对熔池状态的影响,因而将碳素钢SS41在各种条件下进行了真空中耗电弧熔炼。熔炼时的真空度是,780毫米汞柱和50毫米汞柱的氩气,  $10^{-1}$

毫米汞柱和  $10^{-3}$  毫米汞柱的真空中。这种真空度是在炉体出口处测定的值。在无磁场和磁通密度为20、40、60高斯的情况下进行试验。在真空中耗电弧熔炼中,通常将电极接负极、结晶器接正极,但在与此相反的情况下(称为反极性)也可进行试验。熔炼时的电流、电压是以电流为恒定时和以熔炼功率为恒定时(由于炉内真空度提高,电压就降低,因而要增加电流)的两种情况进行试验。此条件列于表1。

表1 熔炼条件

恒定条件	极性	真空度, 磁场	电压 伏	电流 安培	功率 千伏安
电 流 恒 定	正 极 性	780 毫米汞柱氩气 0、20、40、60 高斯	40	1600	64
		50 毫米汞柱氩气 0、20、40、60 高斯	35	1600	56
		$10^{-1}$ 毫米汞柱真空 0、20、40、60 高斯	24	1600	38.5
		$10^{-3}$ 毫米汞柱真空 0、20、40、60 高斯	22	1600	35.2
	反 极 性	780 毫米汞柱氩气 0、20 高斯	40	1600	64
		50 毫米汞柱氩气 0、20 高斯	35	1600	56
		$10^{-1}$ 毫米汞柱真空 0、20 高斯	20	1700	34
		$10^{-3}$ 毫米汞柱真空 0、20 高斯	26.5	2450	65
功 率 恒 定	正 极 性	780 毫米汞柱氩气 0、60 高斯	40	1620	64.8
		50 毫米汞柱氩气 0、60 高斯	35	1850	64.8
		$10^{-3}$ 毫米汞柱真空 0、60 高斯	26.5	2450	65

为了知道熔炼中的熔池状况,以一定量的电极进行自耗,不经过封顶就在大电流的情况下切断电源,此时投入约50克硫化铁,或者约2毫米见方的铝片约200克和几毫米见方的金属钼约25克。在投入硫化铁的情况下,将钢锭纵剖,根据硫印就能容易地知道熔池的状况,但由于凝固时产生气体,恐怕在内部会有大的缩孔和熔池隆起。在投入铝的情况下,就不会这样,而且有熔点高、比重大的金属钼沉淀在熔池底部,可以确定熔池的深度。这种情况下,根据钢锭的宏观组织能知道熔池的状况。

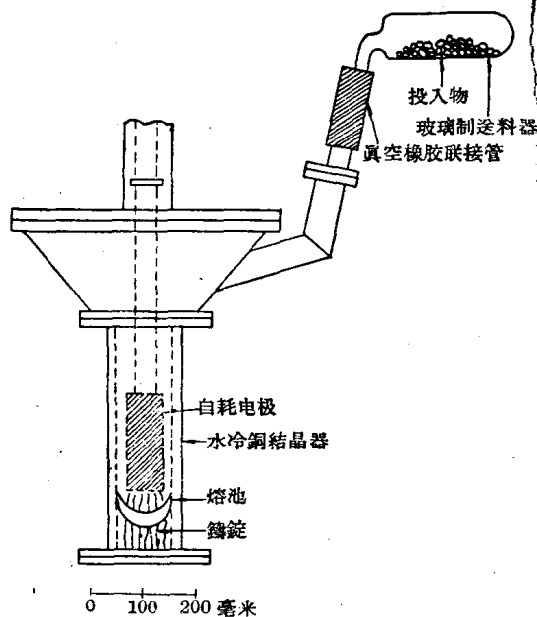


图 5 試驗用自耗電極電弧爐的添加物投入裝置

投入裝置如圖 5 所示，在與爐體連通的玻璃容器內放入需投物，在熔煉終了時使容器傾斜，投入添加物。

在施加磁場的情況下，由於電流一停止，熔池的



780 毫米汞柱    50 毫米汞柱     $10^{-1}$  毫米汞柱  
無磁場 (熔炼終止時投入硫化鐵)



照片 2 在各種爐內真空度和磁場強度下真空自耗電弧熔煉的碳素鋼 SS 41 的硫印  
(反極性, 電流恒定)

旋轉運動也就停止，所以在熔煉中的凝固部分和熔煉停止時的澆口部分的硫印狀態是不同的，因此未添加硫化鐵。熔煉終了之後，取出鋼錠，從縱方向加以剖開，根據硫印(投入硫化鐵時)或宏觀組織(投入鋁、金屬鉬時)來研究澆口的狀況。

## 2) 試驗結果

在投入硫化鐵的場合下，出現硫印的界線，在投入鋁和金屬鉬的場合下，出現宏觀組織的界線，在其底部有未熔狀態的鉬沉淀，所以這些部分被認為是熔煉中的熔池。在 780 毫米汞柱氮氣壓中不施加磁場時，投入硫化鐵的鋼錠(照片 3)的邊界稍不明顯，但與在同一條件下熔煉而投入鋁和金屬鉬時根據宏觀組織來斷定的澆口深度(照片 4)大體相同。由此可知，在本試驗中無論用哪種方法，都能獲得大致相同的結果。

照片 3 表示在正極性的各種條件下，使電流恒定為 1600 安培而用真空自耗電弧熔煉的碳素鋼 SS 41 的硫印。照片 2 是在反極性時的情況。

照片 4 表示在同一輸入功率的各種條件下熔煉碳素鋼 SS 41 時的宏觀組織。此時投入了鋁片和金屬鉬。從本試驗的結果可以了解下列幾點：

(1) 在熔煉電流恒定時，可以觀察到隨著爐內真空度的提高，熔池的深度變淺。無論電極的正負和磁場的強度如何，都有同樣的趨勢。如果爐內真空度提高，電壓就降低，所以在電流恒定時，能獲得降低熔煉功率的必然結果。

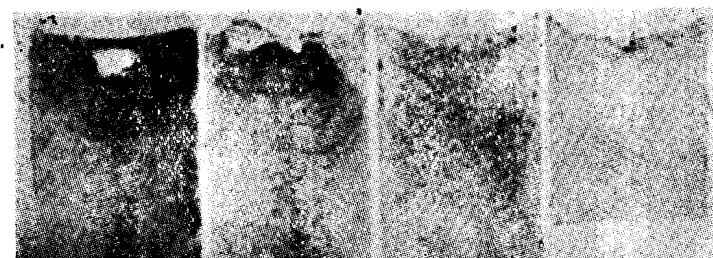
(2) 在反極性的場合，當爐內壓力高時(780 毫米汞柱，50 毫米汞柱)，熔池深度與在正極性時的情形無多大差別；但如果進行真空熔煉，就能觀察到儘管輸入與正極性時大體相同的功率，但熔池顯著變淺。

(3) 如照片 2、3 中的硫印所示，在熔煉時施加磁場，發現硫化物有集中在鋼錠中心部分的趨勢。在爐內真空度為 50 毫米汞柱時較顯著，但真空度再高時就不太明顯。真空度提高後，發現有條紋狀的硫化物偏析。這些事實已在以往的報道中<sup>[14]</sup>敘述過，但原因還不清楚。

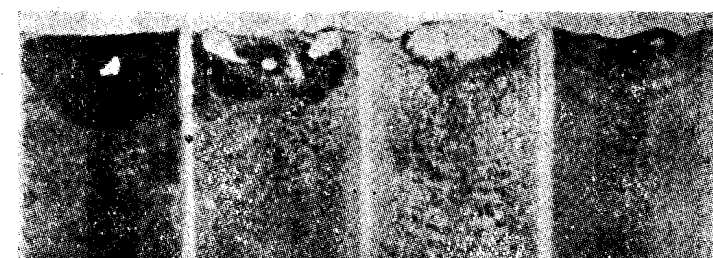
(4) 以恒定功率進行熔煉時，由真空度引起的熔池量的差別就減少。在 780 毫米汞柱的氮氣中熔煉和  $10^{-3}$  毫米汞柱的真空中熔煉相比，氮氣中熔煉時熔池較深。50 毫米汞柱的氮氣中熔煉與  $10^{-3}$  毫米汞柱的真空中熔煉的情形沒有很明顯的差別。在施加磁場的時候，熔池的形狀較細長，因此有變深的趨勢。



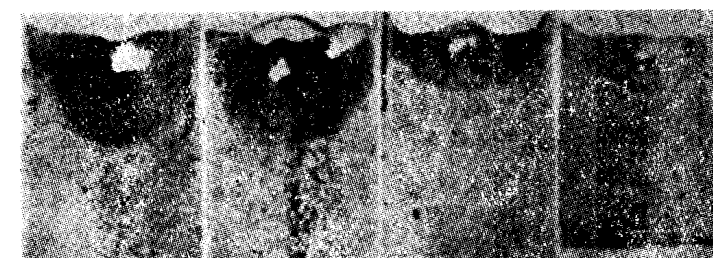
780 毫米汞柱    50 毫米汞柱     $10^{-1}$  毫米汞柱     $10^{-3}$  毫米汞柱  
无磁場 (熔炼終止时投入硫化鉄)



780 毫米汞柱    50 毫米汞柱     $10^{-1}$  毫米汞柱     $10^{-3}$  毫米汞柱  
20 高斯磁場



780 毫米汞柱    50 毫米汞柱     $10^{-1}$  毫米汞柱     $10^{-3}$  毫米汞柱  
40 高斯磁場

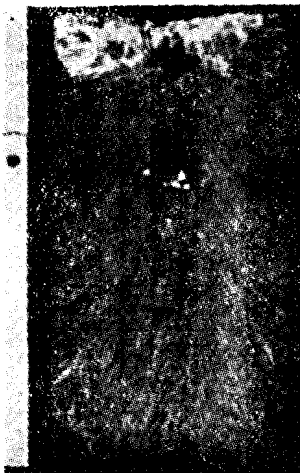


780 毫米汞柱    50 毫米汞柱     $10^{-1}$  毫米汞柱     $10^{-3}$  毫米汞柱  
60 高斯磁場

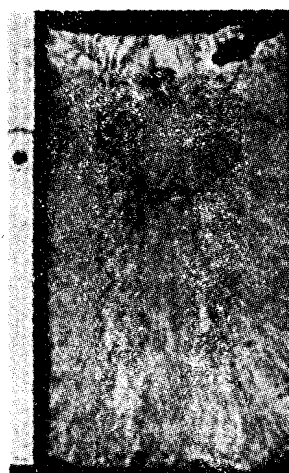
照片3 在各种炉内真空间度和磁场强度下真空自耗电弧熔炼的碳素钢 SS 41 的硫印  
(正极性, 电流恒定)



780 毫米汞柱



50 毫米汞柱  
无磁场



10<sup>-3</sup> 毫米汞柱



780 毫米汞柱



50 毫米汞柱  
60 高斯磁场



10<sup>-3</sup> 毫米汞柱

照片 4 在各种炉内真空中度和磁场强度下真空自耗电弧熔炼的碳素钢 SS 41 的宏观组织，熔炼终止时投入铝和金属铝(正极性，功率恒定)

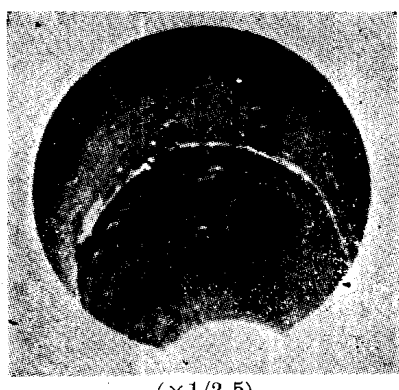
### 三、熔炼条件对铸锭的影响

#### 1. 炉内真空中度、磁场和极性对铸锭表面状况的影响

一般地說，在真空中耗电弧熔炼时，熔融的金属从熔池面或电极上喷濺飞起，或者蒸发了的金属附着在结晶器上。在熔池以上几十毫米处很显著。附着的程度随熔炼条件而变化，如果熔炼电流大，熔池的温度就高，喷濺或蒸发的金属量也多。又在氩气

中熔炼时，熔池面的变动很激烈，喷濺也多；在真空中熔炼时，熔池面比較平靜，但金属的蒸发很厉害，故喷濺就多。将碳素钢 SS 41 在 10<sup>-3</sup> 毫米汞柱真空中进行自耗电弧熔炼时，结晶器上附着物的状况示于照片 5。

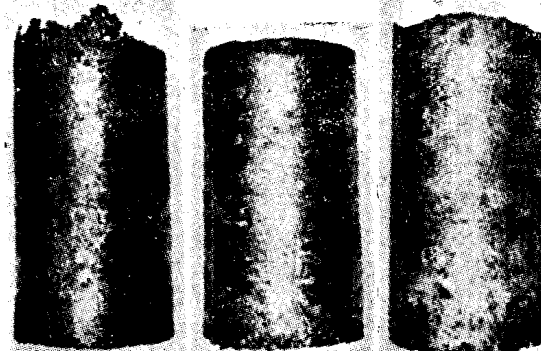
另一方面，随着熔炼的进行，熔池面上升，就会把附着在结晶器上的濺沫和喷濺物熔在里面。为此，最好是熔池的温度高，熔融金属量多。因而，从这种意义上來說，最好是熔炼电流大。但如果也考虑到喷濺和喷濺現象，那么为了使铸锭的表面状况良好，要有最适当的熔炼电流。



( $\times 1/2.5$ )

照片5 結晶器內壁附着物的狀況  
(取出鋼錠, 从結晶器上部來看)

爐內真空度提高, 电压就減小; 故若熔炼电流恒定, 則熔炼功率相应減小。因此, 如要觀察爐內真空度或磁場對鑄錠的表面狀況的影響, 認為在同一功率下熔炼時進行比較最為適當, 所以在前述表1的爐內真空度為780毫米汞柱、50毫米汞柱的氬氣中

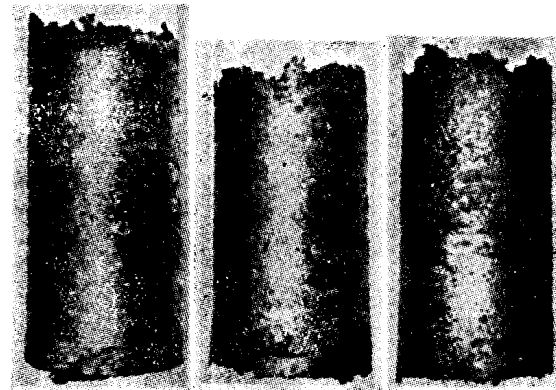


780 毫米汞柱

50 毫米汞柱

$10^{-3}$  毫米汞柱

无磁場



780 毫米汞柱

50 毫米汞柱

$10^{-3}$  毫米汞柱

60 高斯磁場

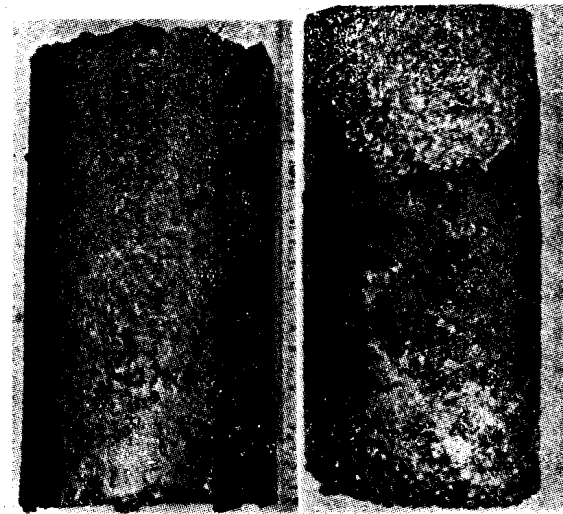
照片6 在各種條件下真空中耗電弧熔煉的碳素  
鋼SS 41 鋼錠的表面狀況  
(以功率恒定進行熔煉)

( $\times 1/4 \times 8/10$ )

和  $10^{-3}$  毫米汞柱真空中進行熔煉, 分別把不施加磁場時和施加60高斯磁場時的鑄錠表面狀況進行比較。又如后所述, 在真空中熔煉時由於電壓梯度小, 電極和熔池面間距離的變動很難體現在熔煉中的電壓上, 因此, 電極和熔池面間的距離恐怕會過分離開, 或過分接近而產生短路。這時, 即使在同一電流下表面狀況也會顯著惡化。所以在本試驗中, 操作上就必須注意不產生這種障礙, 用最適當的條件進行熔煉, 因此所得的結果大致可以認為是標準狀態。

於上述條件下熔煉的鋼錠的表面狀況示於照片6。大致都呈現良好的表面狀況, 尤其是在表面上沒有大的缺陷。在780毫米汞柱的氬氣中熔煉時, 鋼錠的表面呈現金屬光澤, 而在  $10^{-3}$  毫米汞柱的真空中熔煉時, 發現表面的金屬光澤呈現淺白色的状态, 融化較差。可以認為, 這是由於先前附着在熔池面上方的噴鍍金屬的影響。在50毫米汞柱的氬氣中熔煉時, 發現780毫米汞柱氬氣中熔煉和  $10^{-3}$  毫米汞柱真空中熔煉時的中間狀態。

其次, 以反極性熔煉碳素鋼SS 41時, 表面狀況比正極性時差, 特別在真空中熔煉時顯著惡化。照片7是在  $10^{-1}$  毫米汞柱的真空中熔煉的鋼錠的表面狀況, 在反極性時似乎在鋼錠的表面蒙上一層壳而顯著惡化。從這種狀態看出, 反極性時濺沫的附着量很大, 熔化又差, 可以認為此兩者結合起來是使表面狀況惡化的原因。



$10^{-1}$  毫米汞柱

無磁場

正極性

$10^{-1}$  毫米汞柱

無磁場

反極性

照片7 在真空中以正極性和反極性自耗電弧熔  
煉的碳素鋼SS 41 鋼錠的表面狀況

这些現象隨熔炼材料的陰極和陽極的特性而變化，上述結果是觀察碳素鋼而得到的。另外也有由於熔煉中有無施加磁場和磁場強弱不同，而表面狀況會發生變化的<sup>[18]</sup>，但在本試驗中還不能下定論。

## 2. 用拉錠式真空自耗電弧熔煉

### 改善表面狀況

假如噴沫和噴鍍金屬對表面狀況的影響很大，那麼，一般認為若不使熔池面上升而保持在一定的位置進行熔煉，就能獲得良好的表面狀況。因此，可以採用拉錠式自耗電弧熔煉來觀察表面狀況。設備的說明示於圖6。在鑄錠進行凝固的爐底下面安裝拉錠用的支持杆，由此能使爐底向下移動。這個支持杆從冷卻室底部通過真空密封而露出在大氣中。開始時，爐底位於結晶器的較上方，金屬液在其上面凝固，當達到90毫米高度時，將爐底逐漸下降，經常使熔池面保持在一定的位置進行熔煉。只要使爐底下降的速度與鑄錠的成長速度保持一致即可。爐底下降速度可以從電極的下降速度、熔池面的結晶器直徑和電極直徑算出。預先計算好此值，將熔煉中的電壓保持恒定，一面進行拉錠，一面進行熔煉。

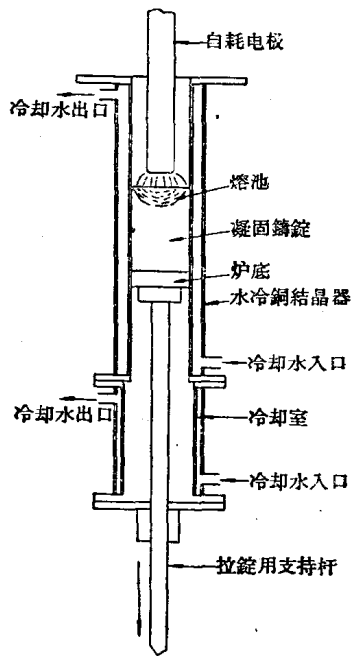
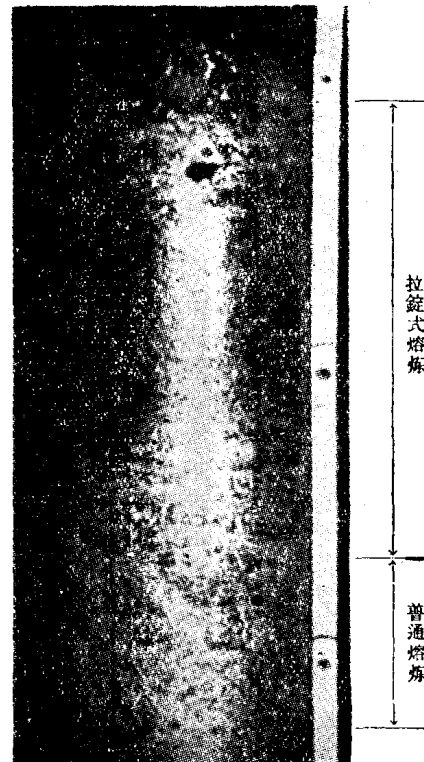


图6 拉錠式真空自耗電弧熔煉設備

用拉錠式電弧熔煉法在 $10^{-3}$ 毫米汞柱真空中熔煉的鑄錠的外觀示於照片8，與同一功率下真空熔煉鑄錠的表面狀況相比，拉錠熔煉的部分呈現金屬光澤，表面狀況得到改善。於这种方式的熔煉法可改善表面狀況，因此能有效地提高產品的收得率。



照片8 拉錠式真空自耗電弧熔煉的碳素鋼SS 41 鑄錠的表面狀況

## 3. 磁場對鑄錠的宏觀組織的影響

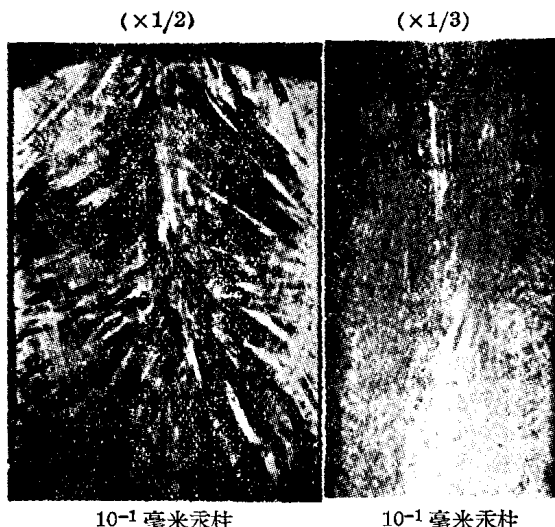
真空自耗電弧熔煉中，如果在縱方向施加磁場，熔池就旋轉。可以設想，熔池一面旋轉一面凝固，將對鑄錠的初次結晶產生某些作用。由於上節試驗中所用的碳素鋼SS 41 很難明顯地顯示出宏觀組織，因此改用能明顯地觀察到初次結晶的純鎳作為試驗材料，研究磁場對鑄錠的影響。

以試驗用真空自耗電弧爐於 $10^{-1}$ 毫米汞柱的真空中在不施加磁場時和施加50高斯磁場時兩種條件下熔煉純鎳；熔煉條件都是電流1600安培，電壓24伏，功率38.5千伏安。把熔煉的鑄錠在縱向對剖，觀察其宏觀組織。

照片9表示宏觀組織，在不施加磁場時，初次結晶自周圍傾斜地向上方伸長，但若施加磁場，晶粒就明顯地細化，沒有發現伸長的初次結晶。

如果施加磁場，熔池就在攪拌狀態下凝固，因而凝固時產生的晶核多，而且能妨礙初次結晶的成長。在其他的Inconel<sup>[10]</sup>、Timken 16-25-6<sup>[11]</sup>合金中，也能觀察到由於施加磁場而使晶粒細化。

有些材料，例如Fe-Cr-Al系合金等，晶粒的粗大化會顯著地妨礙加工性能。在真空自耗電弧熔煉



照片9 无磁場时和50高斯磁場下,真空中( $10^{-1}$ 毫米汞柱)自耗电弧熔炼的純鎳的宏观組織  
(腐蚀液:王水)

法中,由于其凝固条件而使初次结晶細长发展是很普遍的,为了防止其发展并使晶粒变小,曾采用了在熔池中施加超声振动等方法<sup>[19, 20]</sup>,但施加磁场也可說是使晶粒細化有效方法。

#### 四、熔炼条件对电弧的影响

不用說,在真空中耗电弧熔炼中,电弧起了主要的作用。然而,尽管电弧現象很早就被知道,但对其本质來說未知的方面还很多,特別是对于像在本熔炼中使用的大电流电弧的研究几乎还未进行。还有,在真空中耗电弧熔炼中阴极时时刻刻在消耗着,阳极的高度逐渐上升。这样,两极点經常变化,同时在熔炼中直接觀察电弧頗困难,因此,在研究上还有許多問題。

所謂电弧区域,在現象上由阴极电压降区、弧柱电压降区和阳极电压降区三部分組成,电子、电离的金属蒸汽和电离的保护气体等带电粒子一方面产生复杂的运动,一方面維持着恒定的电弧。因此,如果存在磁场,电弧当然就受其作用,而且,保护气体的压力与电弧現象也有着重要的关系。

然而,如上所述,由于在真空中耗电弧熔炼中直接觀察电弧較困难,因而作者們首先用非自耗的鎢电极小型电弧炉研究磁场对于在780毫米汞柱氩气中的电弧的影响的基本性质,然后在試驗用真空中耗电弧炉中,于各种熔炼条件下熔炼碳素鋼SS 41时,用电磁示波器記錄熔炼中的电流、电压的状况,

研究电弧的稳定性。

#### 1. 磁場对电弧的影响(用非自耗电极小型电弧炉进行試驗)

##### 1) 設備和試驗方法

使用前述图1~3所示的試驗設備。用第2段中的試驗設備和方法一节所述的同样的方法,使熔池和电弧成为恒定状态,在熔池面和电极尖端之間恒定地保持40毫米。于这种状态下,使磁通密度在0~600高斯范围内作种种变化时,测定电弧的状态和电弧的电流、电压。这些测定位置示于图3。在测定电压时为了避免由导体的电阻引起的电压降的影响,因此从尽可能接近电弧的位置抽出测定电压用的接线端子。也就是把水冷銅电极的尖端和結晶器的接线端分別与电压表的接线端子联接。

##### 2) 試驗結果

###### (1) 磁場对电弧的形状和方向的影响

无磁场时,电弧的阳极点在熔池面上移动,但如果施加磁场,就能观察到移动消失,阳极点在熔池面的中心保持恒定,弧柱部分变细。若磁化线圈倾斜,则如图7所示,电弧也倾斜。关于这些現象可以作如下的解釋。

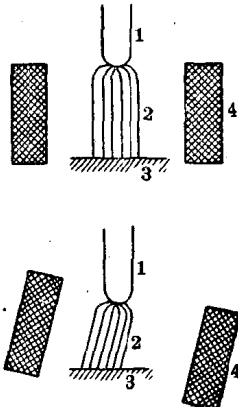


图7 磁化线圈垂直时(上)和倾斜时(下)电弧的形状

1—鎢电极；2—电弧；3—熔池；4—磁化线圈

为了解釋磁场内带电粒子的运动而在图8中垂直于紙面施加磁通密度为B高斯的磁场时,如果自O点在X轴方向以V速度入射粒子,那么粒子就由于磁场的作用而改变方向,在半径为 $\frac{mV}{eB}$ 的圆形轨道上运动。此轨道由下式<sup>[21]</sup>求得:

$$x^2 + \left(y - \frac{mV}{eB}\right)^2 = \left(\frac{mV}{eB}\right)^2$$

m——带电粒子的质量,克

V——入射速度,厘米/秒

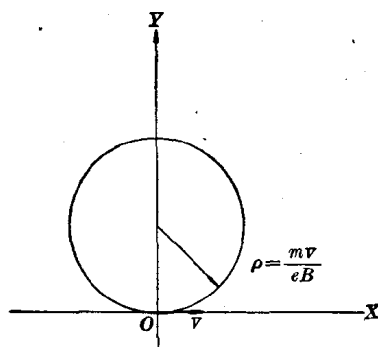
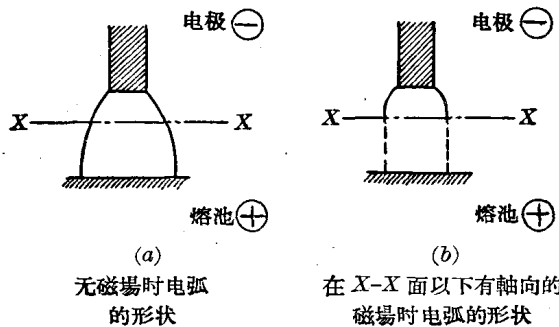


图 8 磁場內帶電粒子的運動

$e$ —电荷, 厘米克秒制电磁单位

$B$ —磁通密度, 高斯

在电弧炉内, 一般情况下电极、熔池和电弧处于图 9(a) 所示的状态, 但现在在  $X-X$  面以下的电弧轴方向施加了磁通密度为  $B$  高斯的磁场。在  $X-X$  面以下入射的粒子(大部分是电子), 大部分与电弧轴线具有某些倾斜。如果其速度为  $V$ , 那么轴向的分量  $V_p$  不受磁场作用, 与轴成直角方向, 即水平方向的分量  $V_H$  受到磁场的作用, 如前所述, 描绘出半径为  $\frac{mV_H}{eB}$  的圆弧。



(a)

无磁场时电弧  
的形状

(b)

在  $X-X$  面以下有轴向的  
磁场时电弧的形状

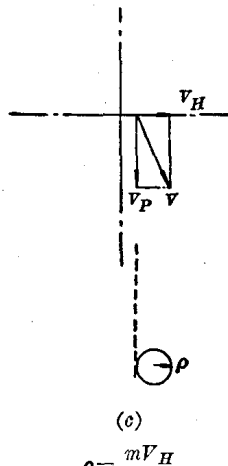


图 9 磁場对电弧形状的影响(1)

因此, 結果是电子在  $X-X$  面以下作螺旋运动, 移向下方, 在电弧区域作用着复杂的力。如果基于上述想法来計算电子的回轉半徑, 以  $m=9 \times 10^{-28}$  克<sup>[21]</sup>,  $e=1.59 \times 10^{-20}$  电磁单位<sup>[21]</sup>,  $B=300$  高斯, 在 30 伏电場中电子获得的速度为  $V \approx 3.25 \times 10^8$  厘米/秒<sup>[20]</sup> 来进行估計, 則  $\rho=0.06$  厘米。

实际的  $V_H$  比上述的还要小, 故  $\rho$  可能为更小的值。因此, 在  $X-X$  面以下, 电弧的形状就不向横向扩展, 如图 9(b) 所示, 可认为垂直地指向熔池面。当为电离的离子时, 离子从熔池面向电极方向前进, 而且旋转方向与电子时相反, 因而结果与电子同方向旋转。倘若磁场从再上方开始, 电弧区域可能更加集中在中心部分。以上被认为是有磁场存在下电弧集中在中心部分的原因。下面考虑磁场与电弧轴线倾斜时的情况。图 10 中, 当磁场存在于  $X-X$  面下方并垂直于  $X-X$  面时, 则平行于  $X-X$  面的速度分量受到磁场的作用而产生旋转运动; 垂直于  $X-X$  面, 即与磁场同一方向的速度分量不受作用, 按原方向前进, 其结果如图 10 所示, 电弧被弯曲。这就是磁化线圈倾斜时电弧倾斜的原因。

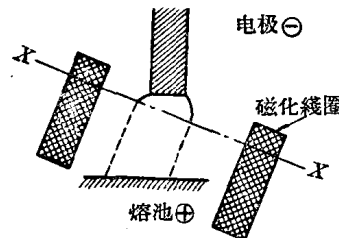


图 10 磁場对电弧形状的影响(2)

綜上所述, 在 780 毫米汞柱氩气压的非自耗电极电弧熔炼中, 由于磁场的作用, 电弧集中在中心部分, 并且利用改变磁场的方向, 就能够改变电弧的方向。

## (2) 磁場对电弧电流和电弧电压的影响

图 11 是用前面所述的方法, 测定熔炼中的电流和电压的关系的结果。一般來說, 电弧呈现下垂的特性, 如果电弧电流增加, 电弧电压就减少; 然而, 若电弧电流增加, 从某一点起电流和电压的特性就成为正特性; 前者叫低强度电弧, 后者叫高强度电弧<sup>[18]</sup>。其状况如图 12 所示。在本試驗中, 电流和电压呈现正特性的部分被认为是高强度电弧区域。

图 13 表示磁通密度与电弧电压的关系。如果磁场很强, 那么呈现电弧电压增加的特性。

如前所述, 如果施加磁场, 带电粒子就产生螺旋运动。因此, 粒子的平均自由行程必須沿着圆弧来

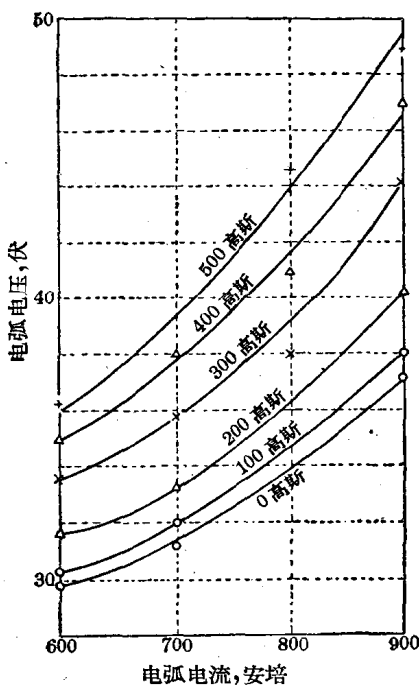


图 11 各种磁场下电弧电流和电弧电压的关系

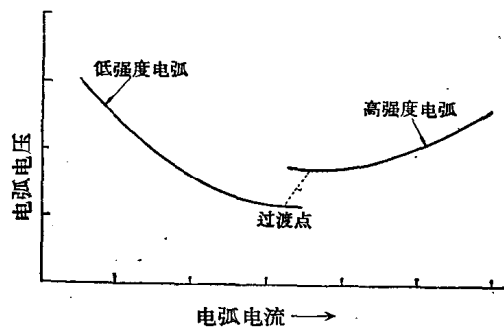


图 12 电弧特性的一般趋势

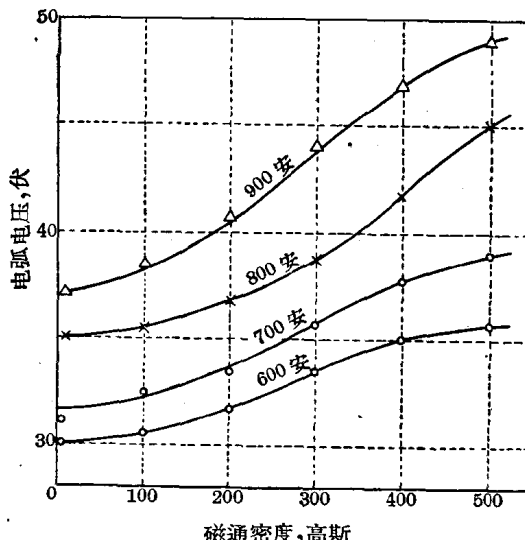


图 13 780 毫米汞柱氩气中非自耗电极电弧熔炼时磁通密度对电弧电压的影响  
(图中的数字为电弧电流)

测定，在继续到产生第二次碰撞之间的距离要比无磁场时短，故带电粒子前进一定距离所产生的碰撞次数因施加磁场而增加。这种现象与增加气体密度是等效的<sup>[22]</sup>。

随着保护气体压力的增加，电弧电压增大，这是由许多人所阐述的<sup>[23]</sup>。在本试验中发现，倘若磁场增大，电弧电压就增加，从以上的分析认为，这个结果是妥当的。以上是在 780 毫米汞柱氩气压中熔炼的情况。在真空中熔炼时，因为电极被烧红，故用非自耗电极在真空中熔炼是不可能的，亦不能进行试验。

## 2. 真空自耗电弧熔炼中电弧的稳定性

(用真空自耗电弧炉进行试验)

### 1) 试验方法

如前所述，因为直接观察真空自耗电弧熔炼中电弧的稳定性是困难的，因此当把碳素钢 SS 41 在各种条件下进行真空自耗电弧熔炼时，先用电磁示波器记录电流、电压的状况，再进行研究。

如图 14 所示，测定电流用的接线端子与电流表用的分流器相联接，测定电压用的接线端子分别与结晶器和水冷铜电极的尖端相联接。

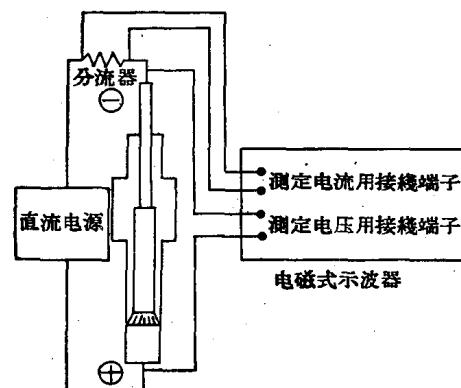


图 14 用电磁示波器测定真空自耗电弧熔炼中的电流、电压的回路

### 2) 试验结果和分析

在各种条件下，即在炉内压力为 780 毫米汞柱、50 毫米汞柱的氩气中和  $10^{-3}$  毫米汞柱的真空中，在不施加磁场时和施加 60 高斯磁场时，用真空自耗电弧炉熔炼了碳素钢 SS 41，其电流、电压的状况示于图 15、16\*。从图中可看出如下几点：

(1) 在 780 毫米汞柱氩气中熔炼时，电流、电压都发生剧烈的变化。

\* 原文误为图 15~18——译者注

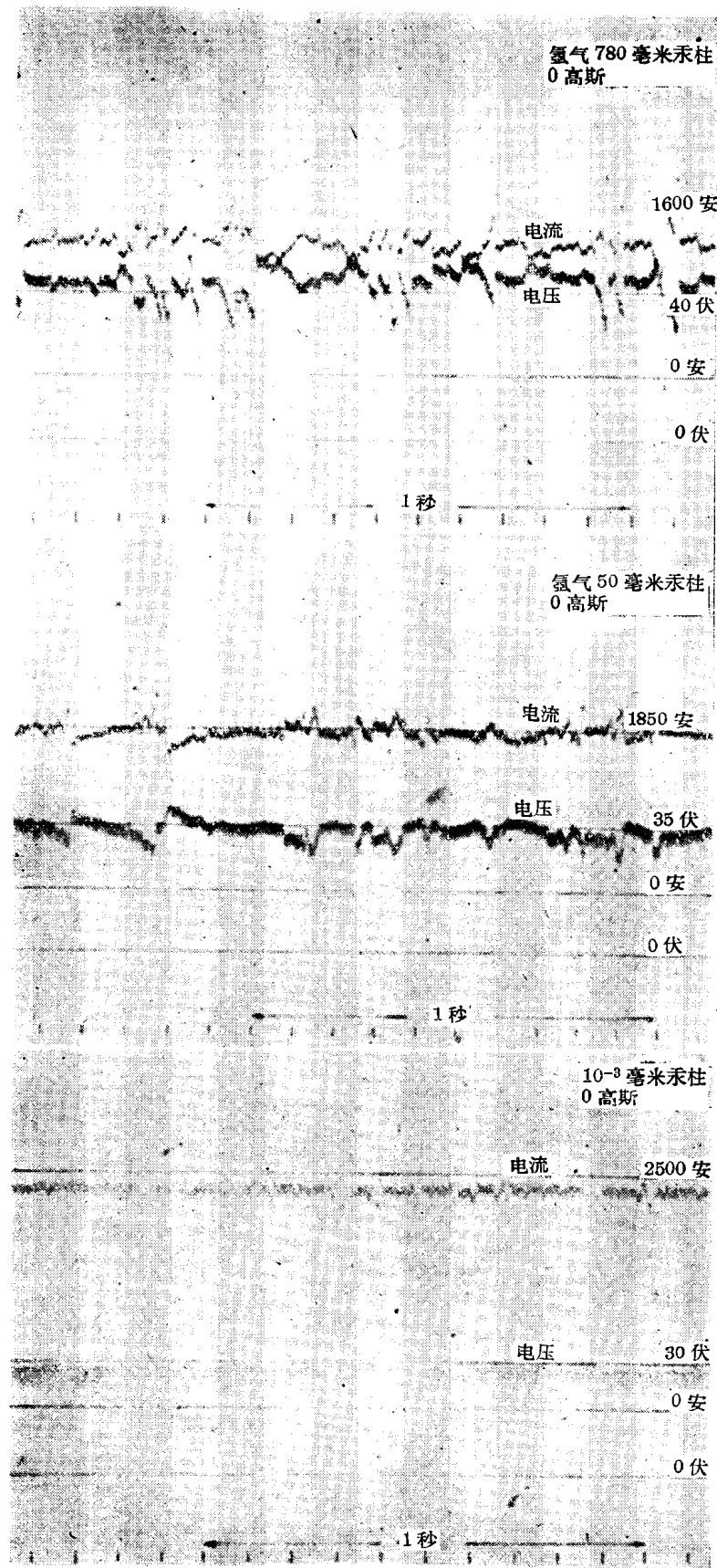


图 15 用各种炉内压力真空自耗电弧熔炼碳素钢 SS 41 时，  
熔炼中的电流、电压的状况(无磁场)

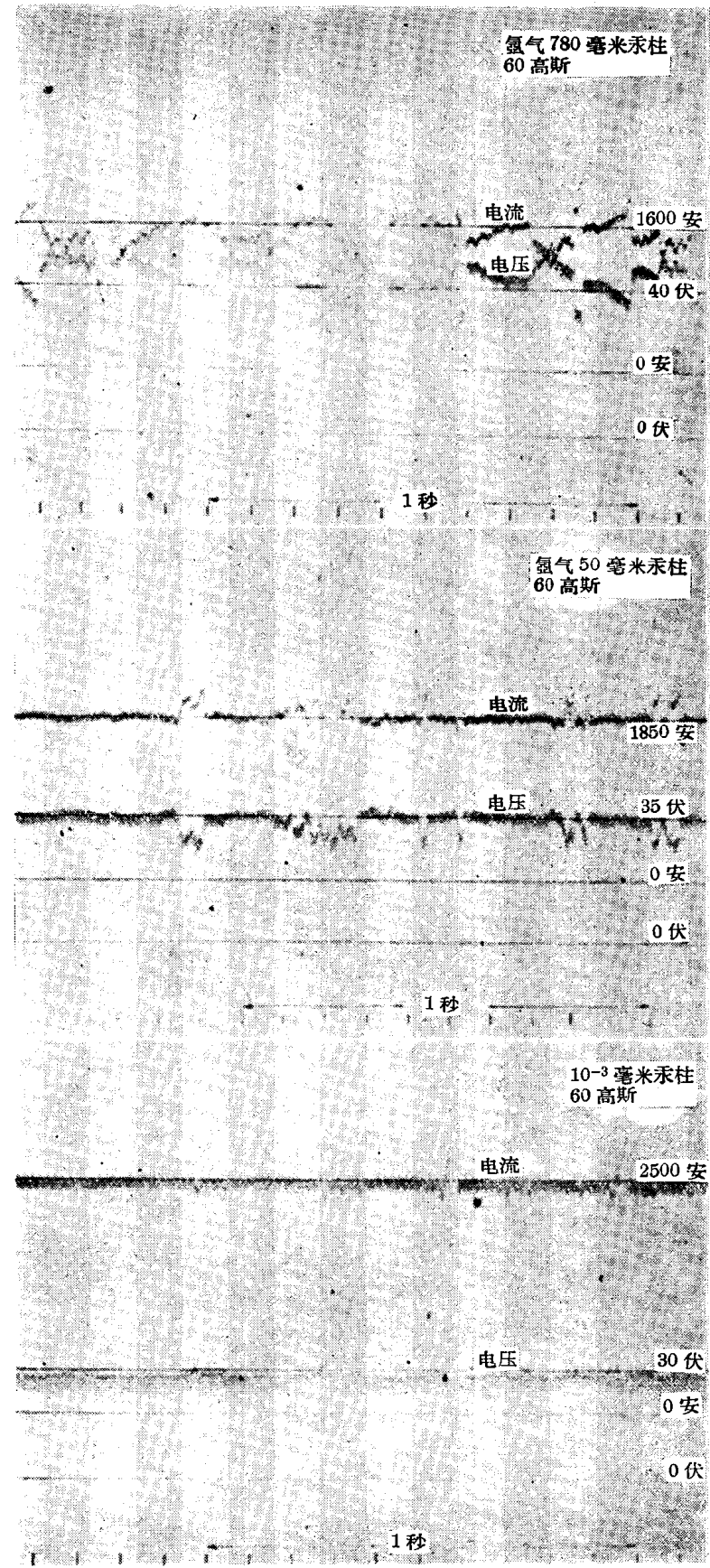


图 16 用各种炉内压力真空自耗电弧熔炼碳素钢 SS41 时，熔炼中的电流、电压的状况 (60 高斯磁场)

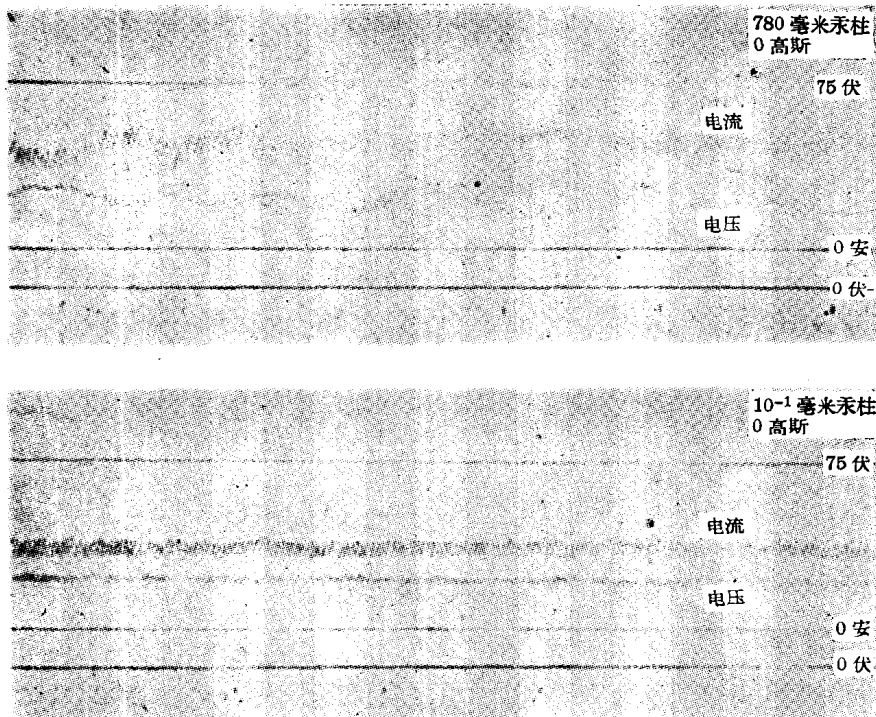


图 17 780 毫米汞柱氩气中和真空中自耗电弧熔炼钛时的电流、电压的状况  
(用工业用真空自耗电弧炉, 电流約为 10,000 安培)

随着炉内压力的降低, 变化逐渐减小, 在  $10^{-3}$  毫米汞柱的真空中熔炼时, 电流、电压均显著稳定。无论极性的正反、磁场的有无和强弱如何, 这种趋势相同, 这是非常显著的特点。并且, 这种现象在所有的材料中是共同的。图 17 是用工业用真空自耗电弧炉熔炼钛时的电流和电压的状况。由图可知, 在 780 毫米汞柱氩气中熔炼时, 其变动很激烈, 然而在  $10^{-1}$  毫米汞柱真空中熔炼时就稳定。

(2) 熔炼中的电压随着炉内压力的降低而下降。

(3) 在非自耗电极式电弧熔炼时, 磁场有着使电弧的阳极点稳定的趋势, 而在真空中耗电弧熔炼时, 磁场的影响不明显, 电流、电压的状况均不因磁场的有无而变化。

已經讲过, 一般來說, 电弧在其两极分别形成阳极点和阴极点, 由此燃起电弧。在氩气中熔炼时正极性的情况下, 在电极上形成阴极点的那部分被加热熔融, 逐渐滴落下来。因此, 电弧的长度逐渐缩短, 电压减少, 电流增大。在熔融部分落下之前, 阳极和阴极几乎处在接触的状态。由此使电流急剧增加, 电压接近于零。这样, 熔融部分终于落下, 但在那一瞬间电弧被切断, 电压急剧上升, 电流成为零。然后, 马上在其他部分形成阴极点和阳极点, 重复同

样的过程。图 15、16 的氩气中自耗电弧熔炼的电流、电压之状况就是在反复短路状态形成的。另外, 在氩气中熔炼时, 氩气被加热, 产生对流, 这也被认为是电流、电压变动的一大原因。

另一方面, 一般认为<sup>[24]</sup> 在真空中电弧的阴极和阳极的状态是不同的。在氩气中, 电极上明显地形成阴极点, 由此点产生电弧, 而在真空中, 不是仅仅产生一点阴极点, 而是从电极下面和侧面的下端到 20~30 毫米的上方一样地被加热, 一样地产生电弧。

在熔炼时能明显地观察到, 电极尖端部分的较上方也被加热。被加热部分的金属熔融并集中在电极尖端, 最后成为液滴落下<sup>[24]</sup>。由于这样, 电弧长度就不再象在氩气中熔炼时那样地变化, 电弧也不切断, 故电弧电流和电压的变动就减少。在真空中熔炼时, 当电极尖端和熔池面接近的时候, 从电极尖端落下的熔融金属也与熔池面接触, 所以在那一瞬间也成为短路状态。图 18 表示由那种现象所引起的状态。

从熔炼中止后电极尖端的形状, 也能推知阴极的电弧状态由于真空中不同所引起的差异。照片 10 表示在各种条件下(功率恒定, 在 780 毫米汞柱、50 毫米汞柱氩气中和  $10^{-3}$  毫米汞柱真空中熔炼,